

# **«Разработка методики моделирования субмикронных МДП-транзисторов в системе TCAD»**

диссертация на соискание степени магистра техники  
и технологии по направлению 210200  
«Проектирование и технология электронных  
средств»

**Магистрант:** Глушко А.А.

**Научный руководитель:** Макаруч В.В., МГТУ им. Н.Э. Баумана

**Научн. консультант:** Амирханов А.В., НИИСИ РАН

# Цели работы

- Разработка методики моделирования субмикронных КНИ МДП-структур в САПР TCAD, позволяющей снизить временные затраты на расчет электрических характеристик указанных структур и обеспечивающей устойчивую сходимость численных методов, заложенных в САПР TCAD;
- Исследование влияния температуры на электрические характеристики МДП-структур с субмикронными размерами;
- Исследование воздействия радиационного облучения на электрические характеристики МДП-структур с субмикронными размерами.

# Решаемые задачи

- Калибровка модели процесса термического окисления в САПР TCAD на основе экспериментальных данных;
- Калибровка модели технологического процесса ионной имплантации на основе экспериментальных данных, полученных методом вторичной ионной масс-спектропии;
- Моделирование в системе TCAD технологических параметров КНИ МДП-транзисторов, выполненных по 0,35 мкм технологии: Расчет толщины подзатворного окисла, глубины p-n-переходов, длины канала.
- Расчет электрических характеристик МДП-транзисторов с характерными размерами 0,35 мкм при нормальных условиях. Оценка расхождения между расчетными и экспериментальными данными.
- Расчет электрических характеристик МДП-транзисторов с шириной затвора 0,35 мкм при воздействии температуры.
- Расчет пороговых характеристик n-канального МДП-транзистора с шириной затвора 0,35 мкм при воздействии радиации.
- Определение величины связанного заряда в скрытом окисле КНИ-структуры (технология КНИ, ширина затвора – 0,35 мкм).
- Исследование поведения транзисторов в различных режимах работы при радиационном воздействии
- Анализ численных методов моделирования МДП-транзисторов в САПР TCAD.

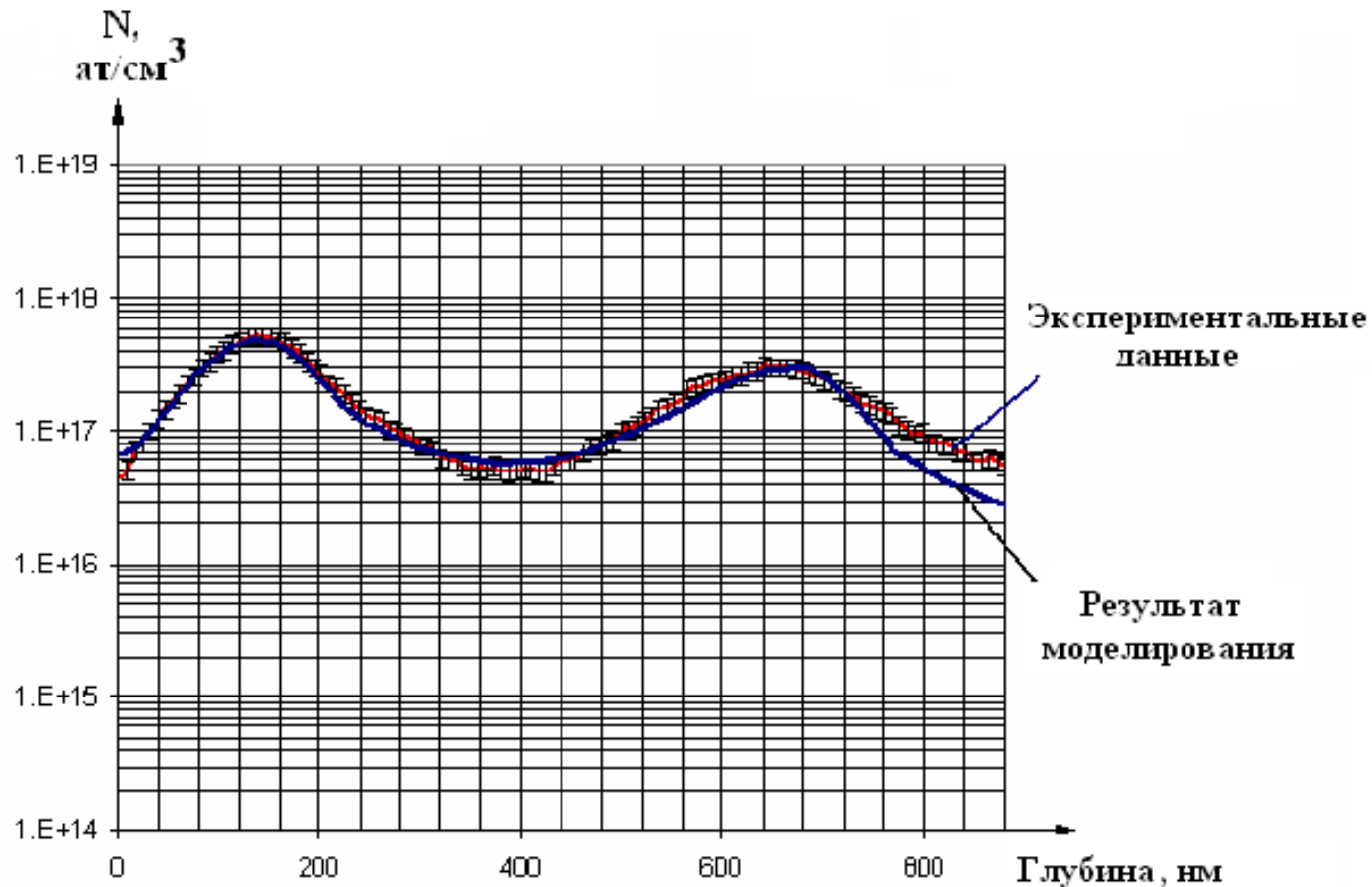
# Порядок калибровки моделей технологических процессов

- Анализ моделей технологических процессов, заложенных в САПР TCAD;
- Выбор модели, дающей минимальное расхождение с экспериментальными данными на всем интервале варьирования входных параметров;
- Изменение калибровочных параметров модели с целью приближения результатов моделирования к центру интервала разброса экспериментальных данных

# Результаты калибровки модели процесса термического окисления

Технологический режим окисления $p_{O_2} = 760$ мм рт. ст.	Расчетная толщина окисла	Измеренная толщина	Границы варьирования величины
$T=1000$ °C, $t=40$ с	39 А	$40 \pm 5$ А	От 35 до 45 А
$T=1100$ °C, $t=100$ с	148 А	$140 \pm 20$ А	От 120 до 160 А
$T=1000$ °C, $t=110$ с	71 А	$70 \pm 20$ А	От 50 до 90 А
$T=1100$ °C, $t=60$ с	112 А	$115 \pm 10$ А	От 105 до 125 А

# Результаты калибровки процесса ионной имплантации бора



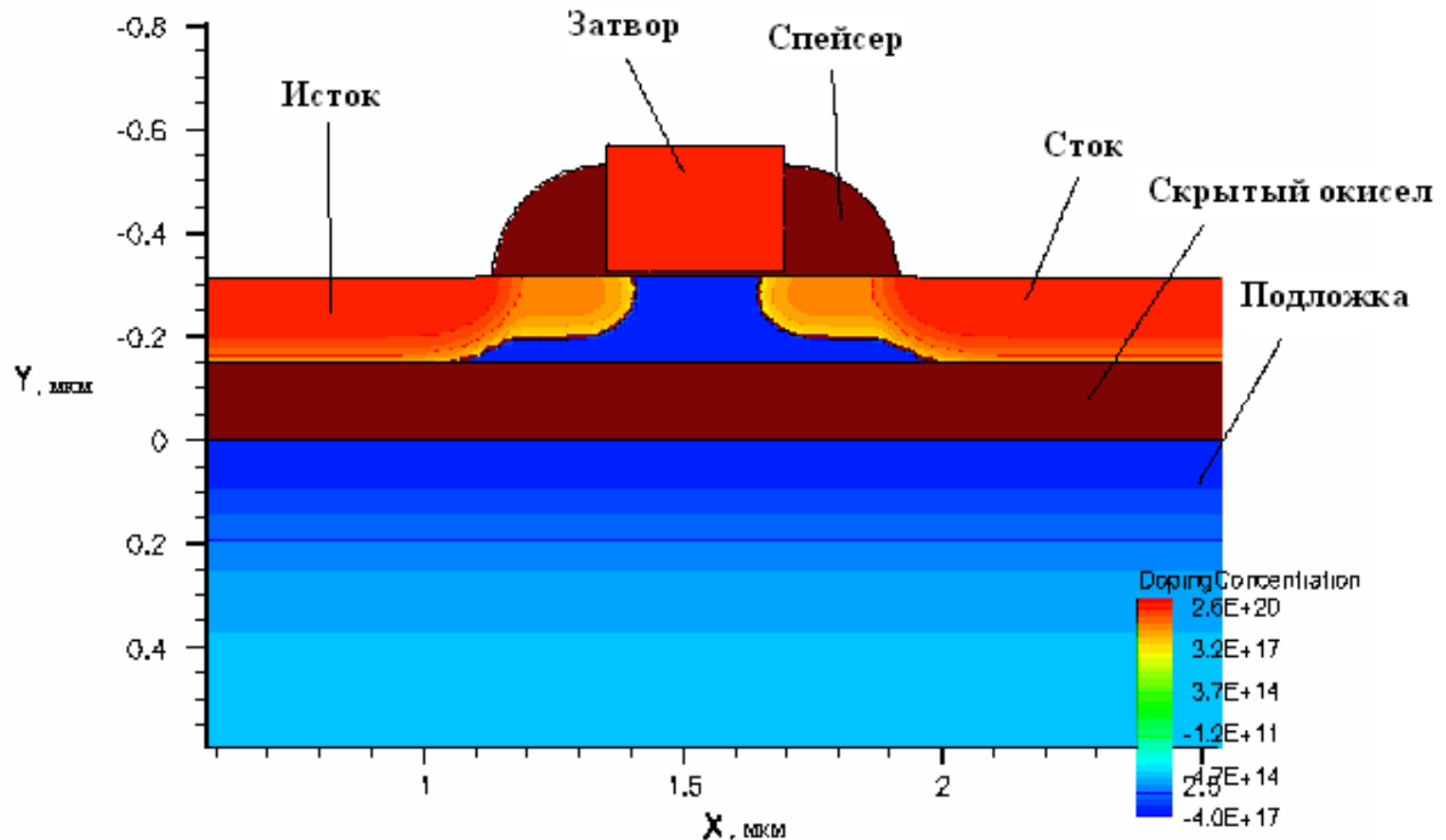
(Две ступени:  $E = 240$  кЭв,  $D=6 \times 10^{12}$   $\text{cm}^{-2}$ ,  $E = 40$  кЭв,  $D=5 \times 10^{12}$   $\text{cm}^{-2}$ )

# Результаты калибровки процесса ионной имплантации фосфора



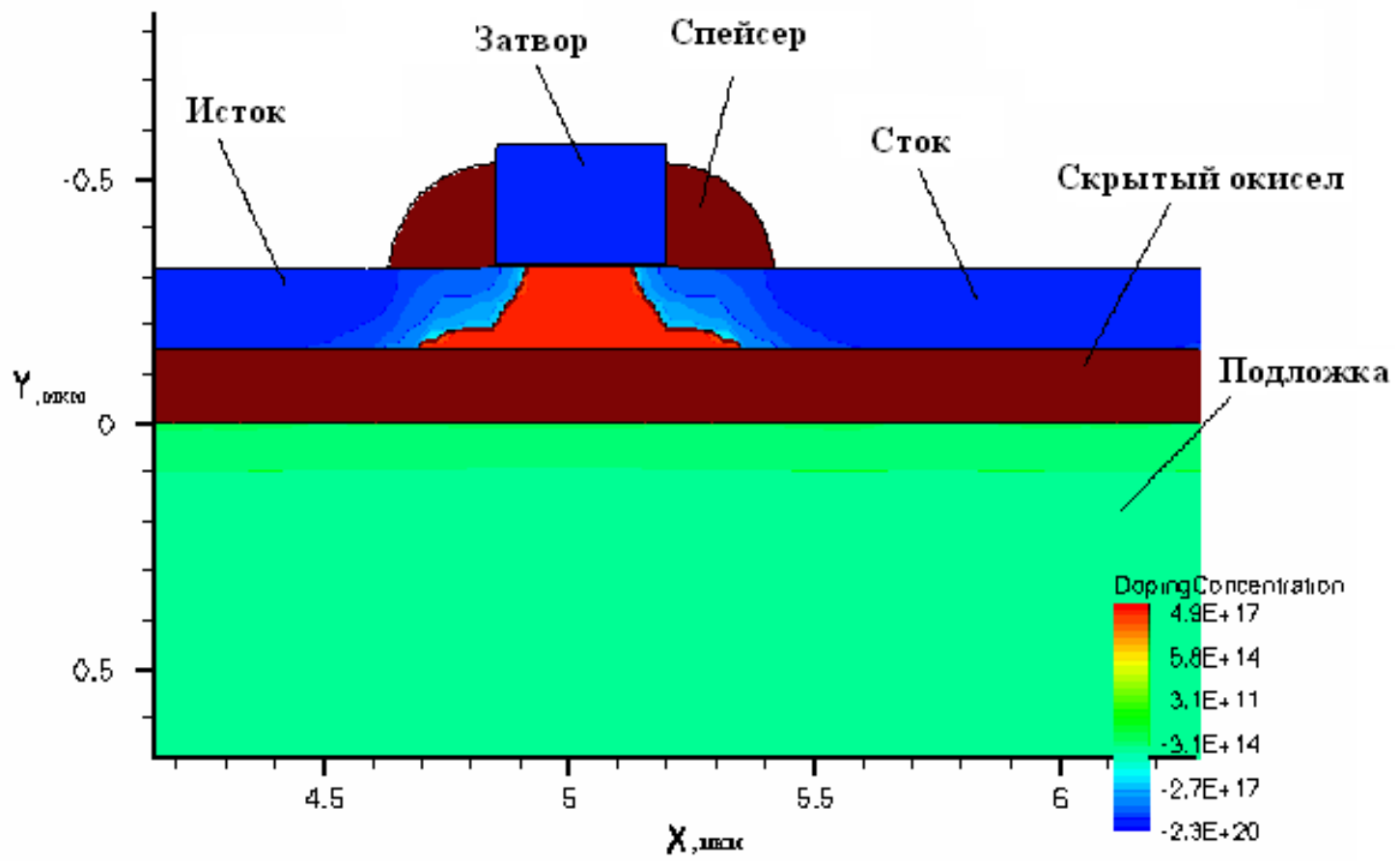
( $E=360$  кЭв,  $D=6 \times 10^{12}$   $\text{cm}^{-2}$ ,  $E=60$  кЭв,  $D=2 \times 10^{12}$   $\text{cm}^{-2}$  )

# Структура n-канального КНИ МДП-транзистора с шириной затвора 0,35 мкм

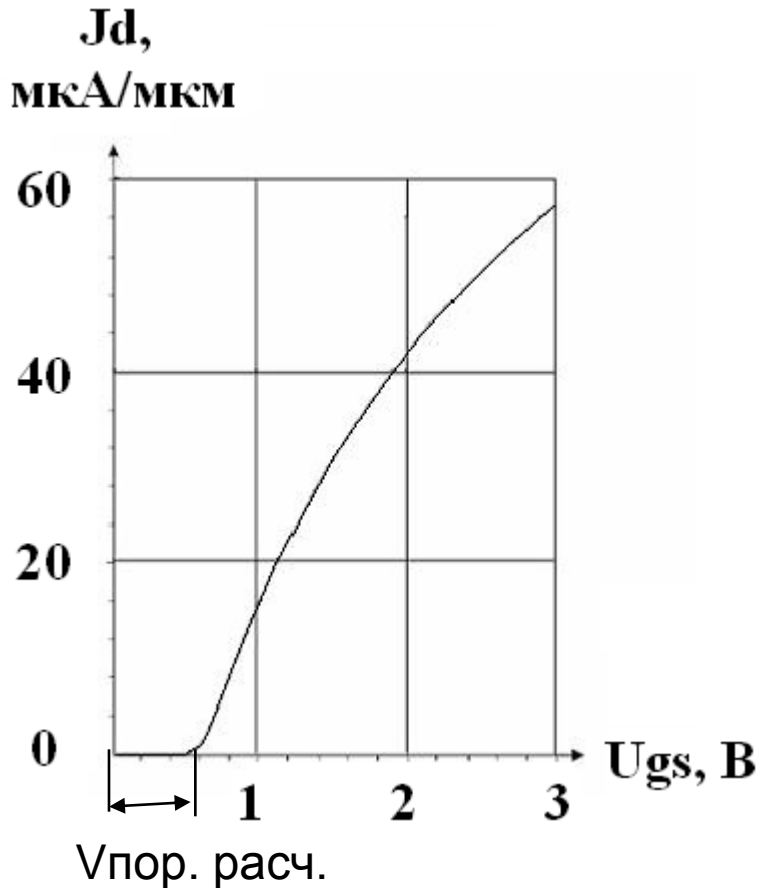




# Структура p-канального КНИ МДП-транзистора с шириной затвора 0,35 мкм



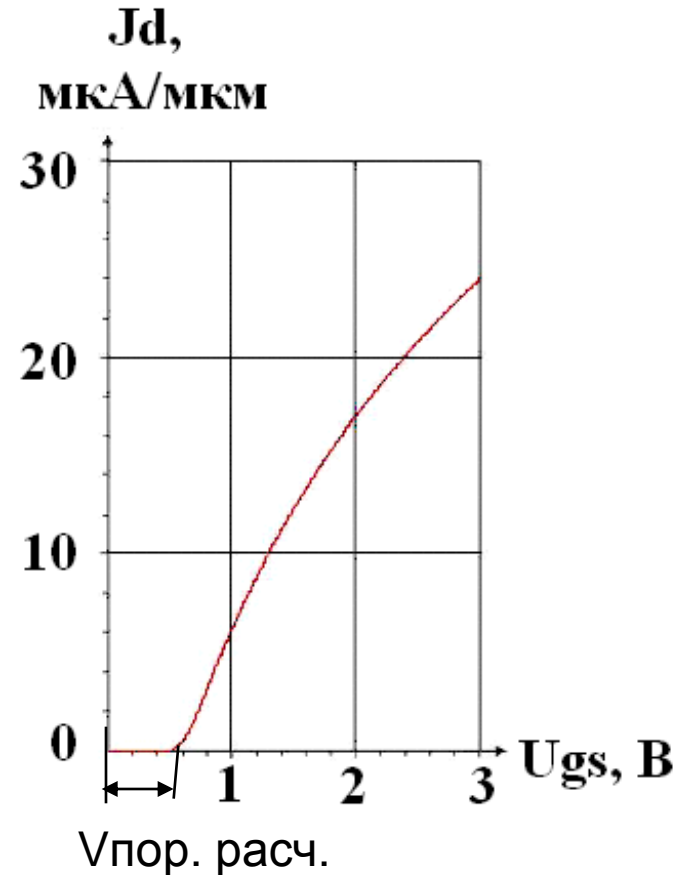
# Расчётные пороговые характеристики для 0,35 мкм КНИ МДП-транзисторов



n-канальный транзистор

Впор. расч. = **0,62 В**

Впор. эксп. : от **0,59** до **0,63 В**

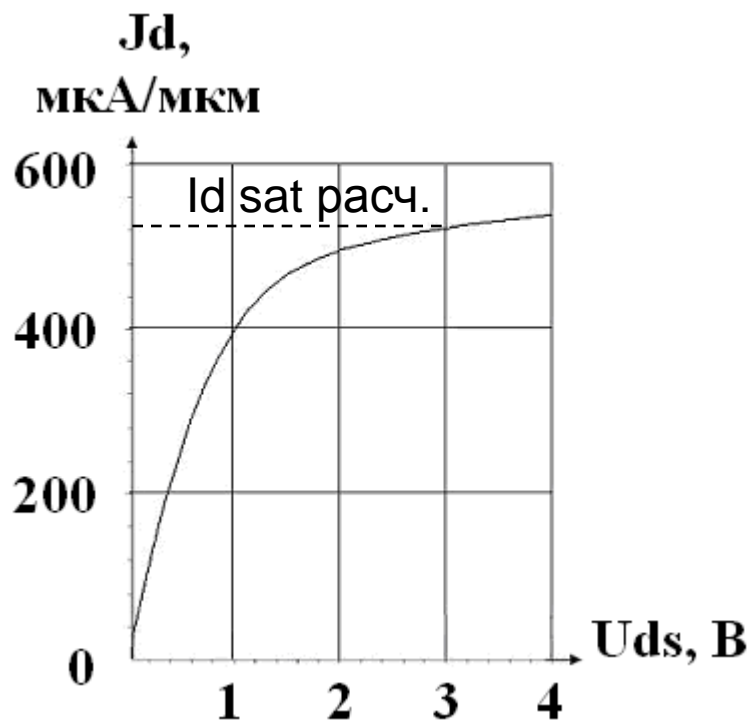


p-канальный транзистор

Впор. расч. = **- 0,598 В**

Впор. эксп. : от **-0,58** до **-0,6 В**

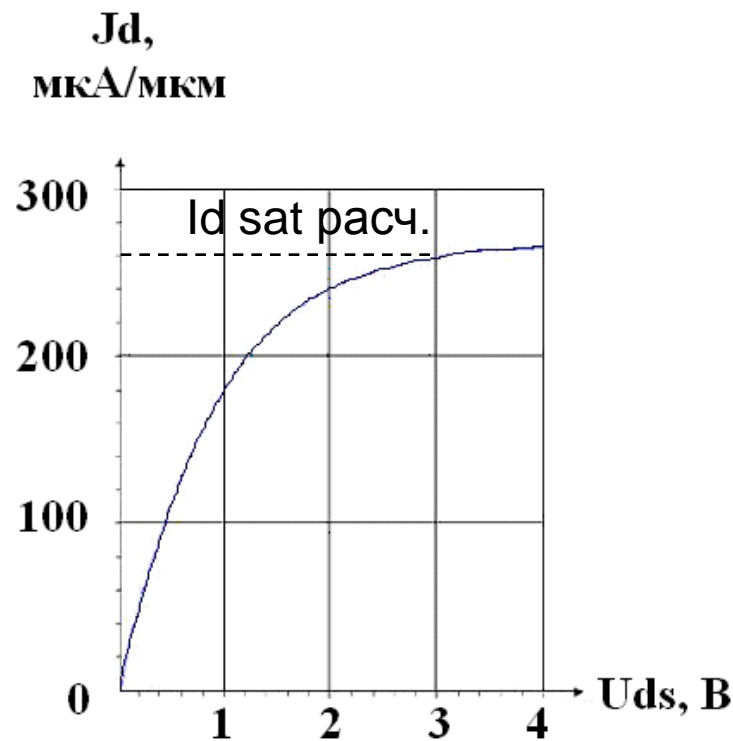
# Выходная характеристика р-канального транзистора с шириной затвора 0,35 мкм



n-канальный транзистор

$I_d \text{ sat расч.} = 526 \mu\text{A}/\mu\text{m}$

$I_d \text{ sat эксп.} : \text{от } 511 \text{ до } 541 \mu\text{A}/\mu\text{m}$

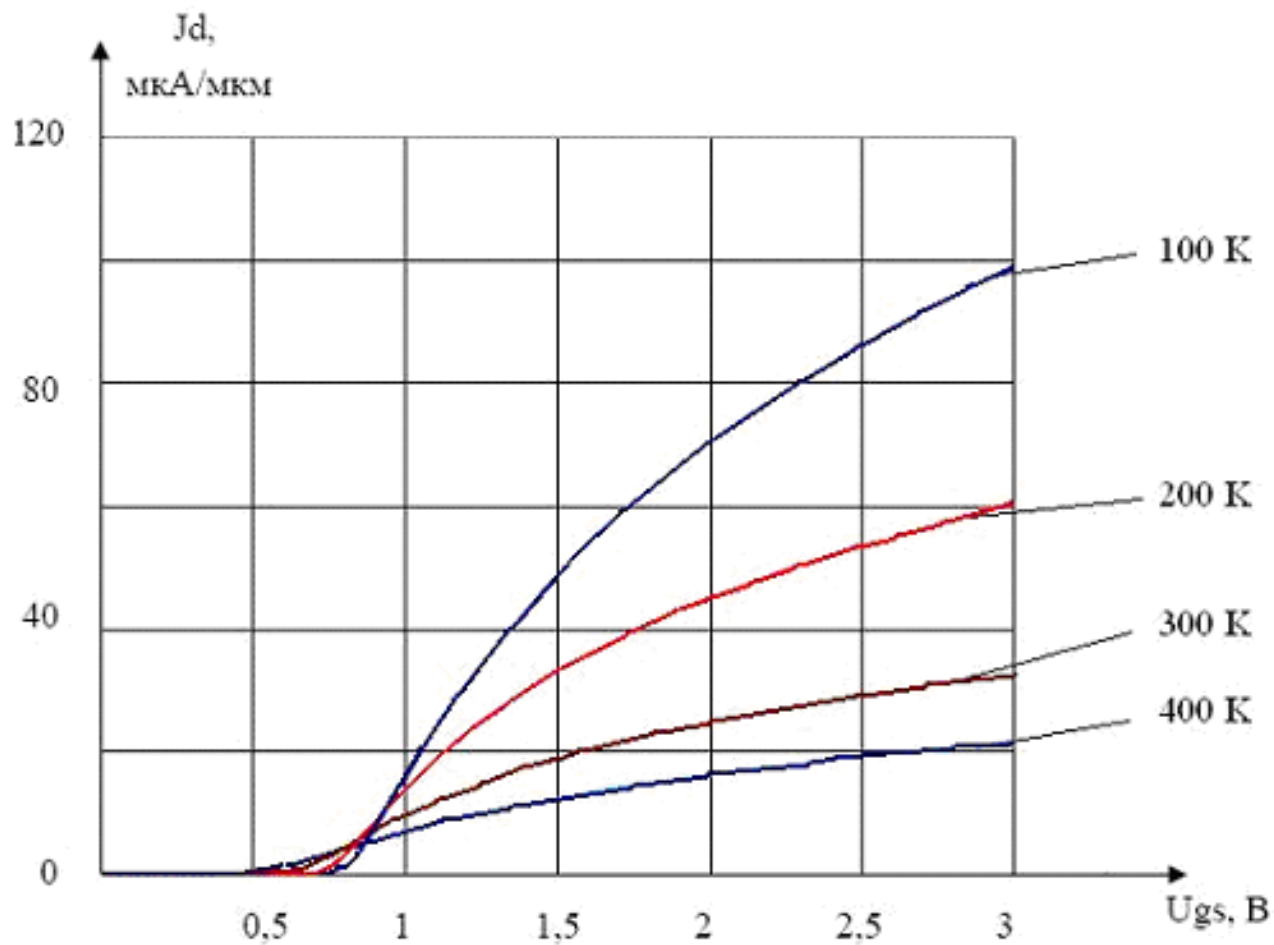


p-канальный транзистор

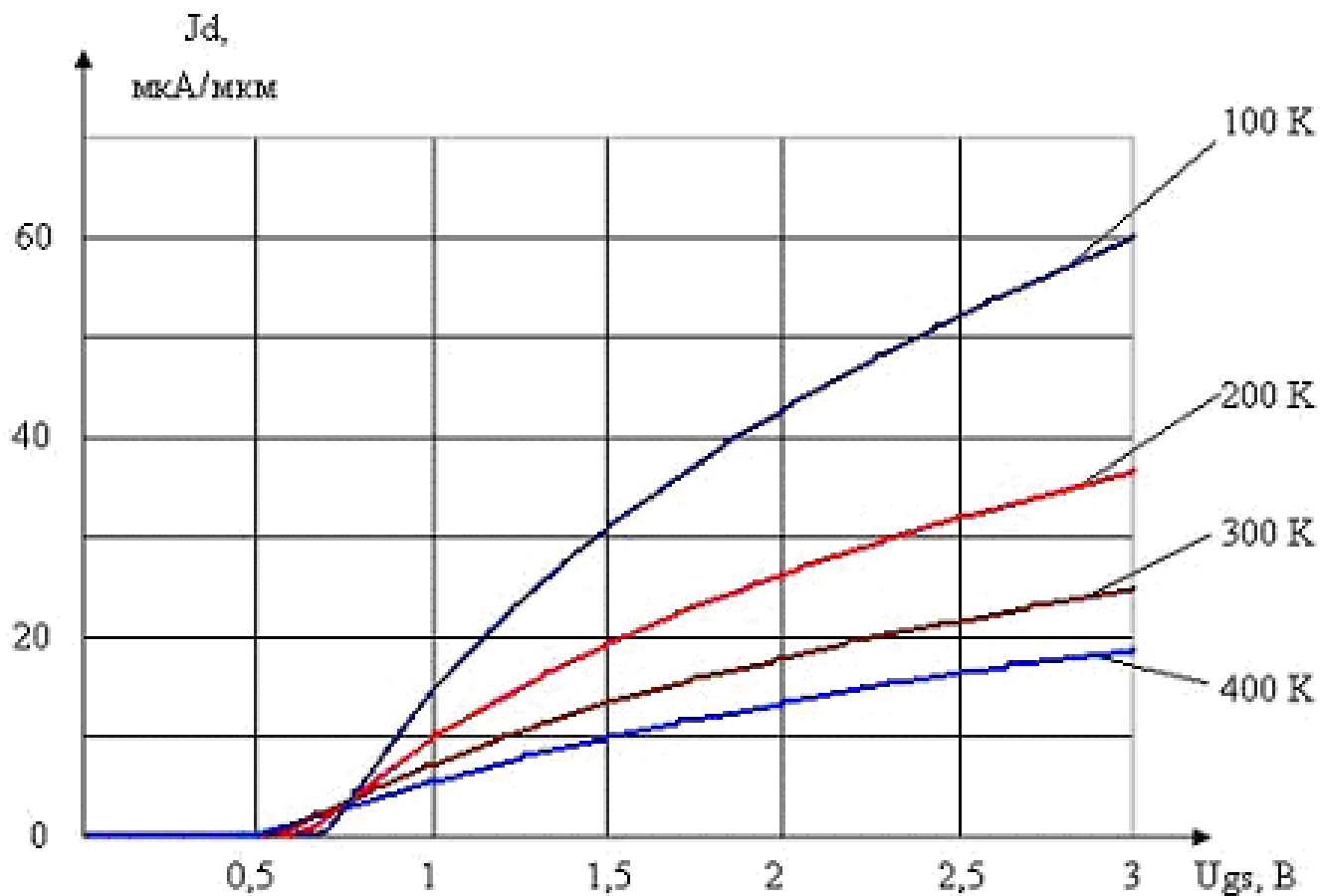
$I_d \text{ sat расч.} = -260 \mu\text{A}/\mu\text{m}$

$I_d \text{ sat эксп.} : \text{от } -230 \text{ до } -270 \mu\text{A}/\mu\text{m}$

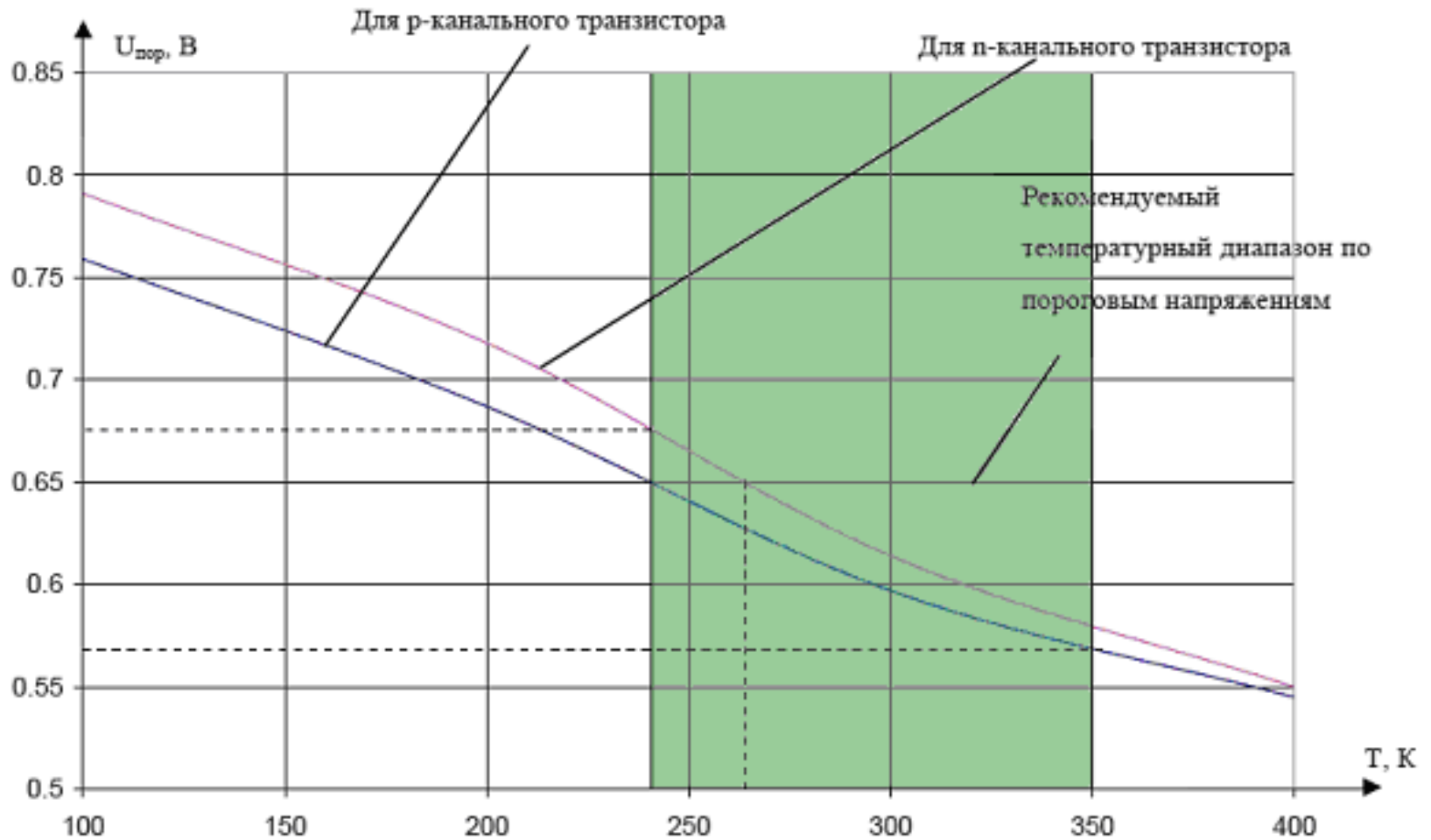
# Семейство рассчитанных пороговых характеристик n-канального КНИ МДП-транзистора с шириной затвора 0,35 мкм при различных температурах



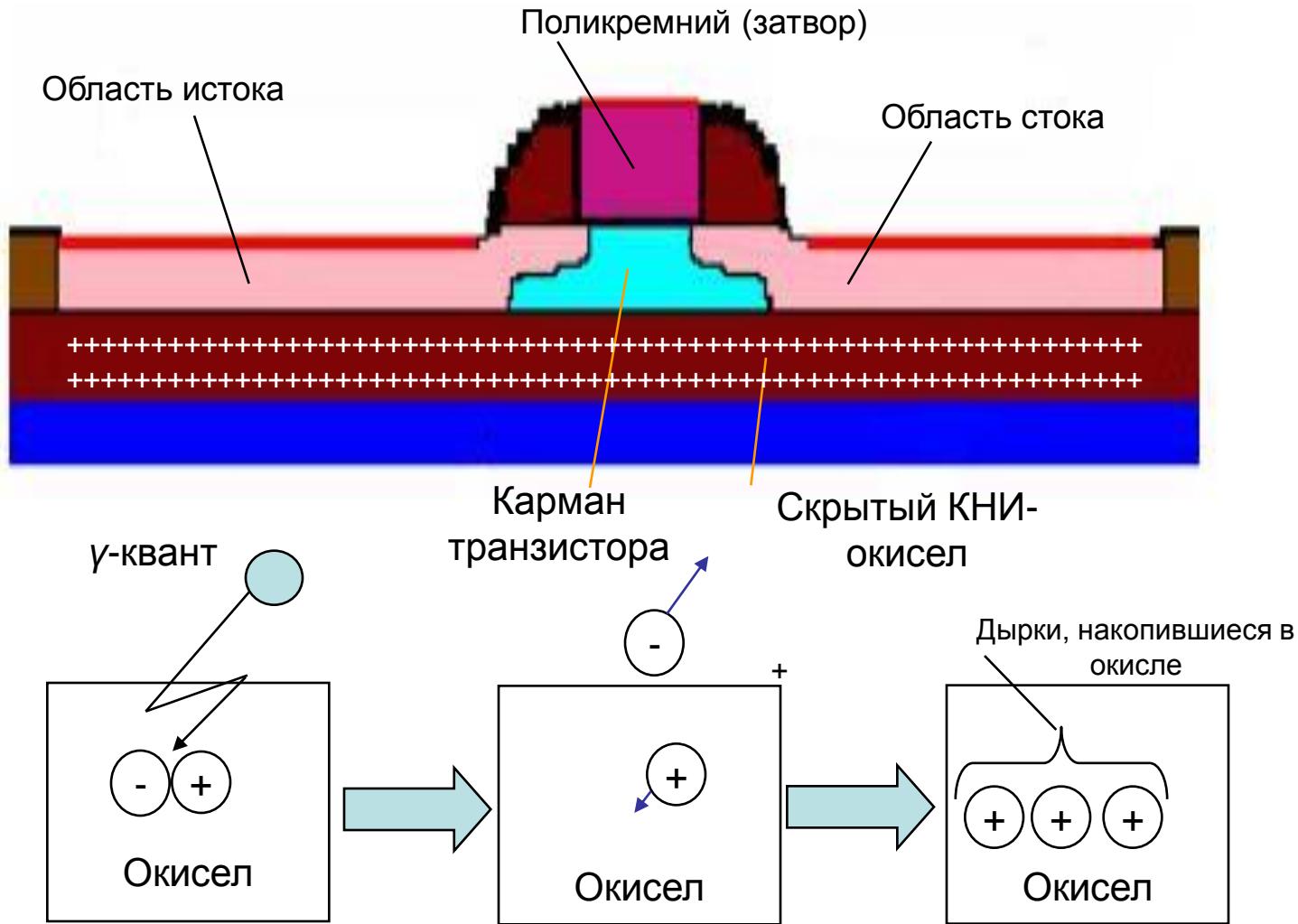
# Семейство рассчитанных пороговых характеристик р-канального КНИ МДП-транзистора с шириной затвора 0,35 мкм при различных температурах



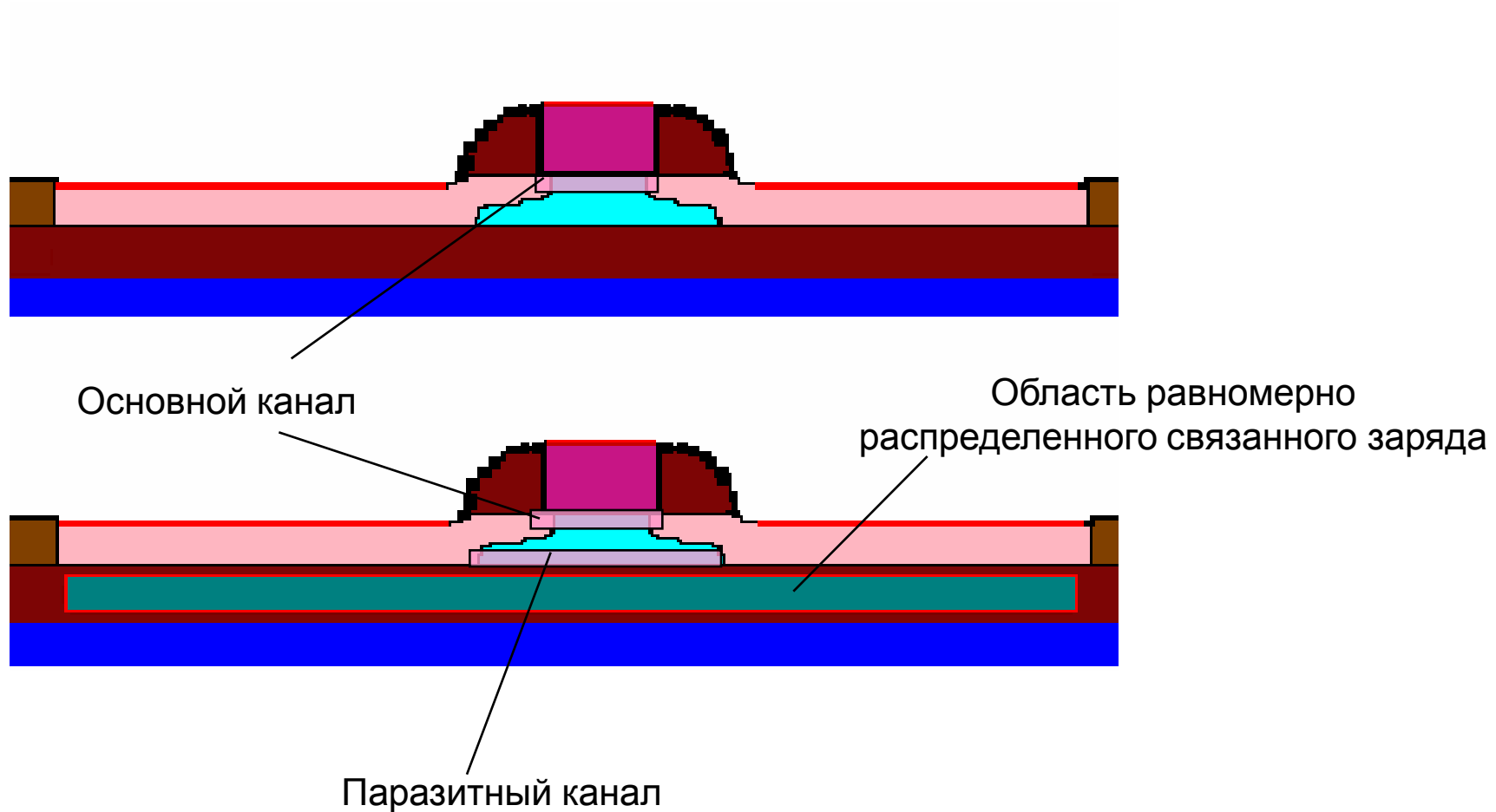
# Определение рекомендуемого температурного диапазона работы по результатам моделирования



# Исследование радиационной стойкости. Механизм деградации диэлектрика

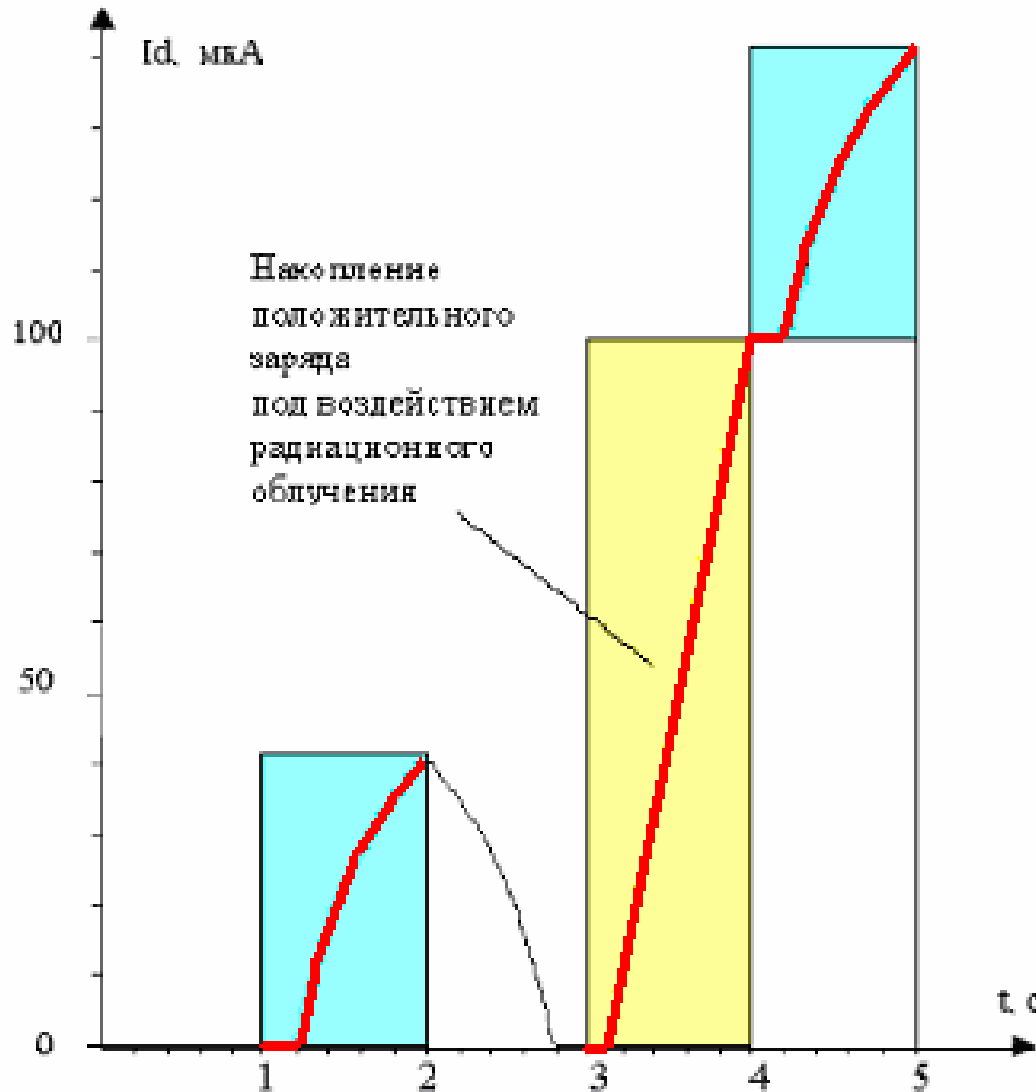


# Влияние накопленного заряда на характеристики КНИ МДП-структуры



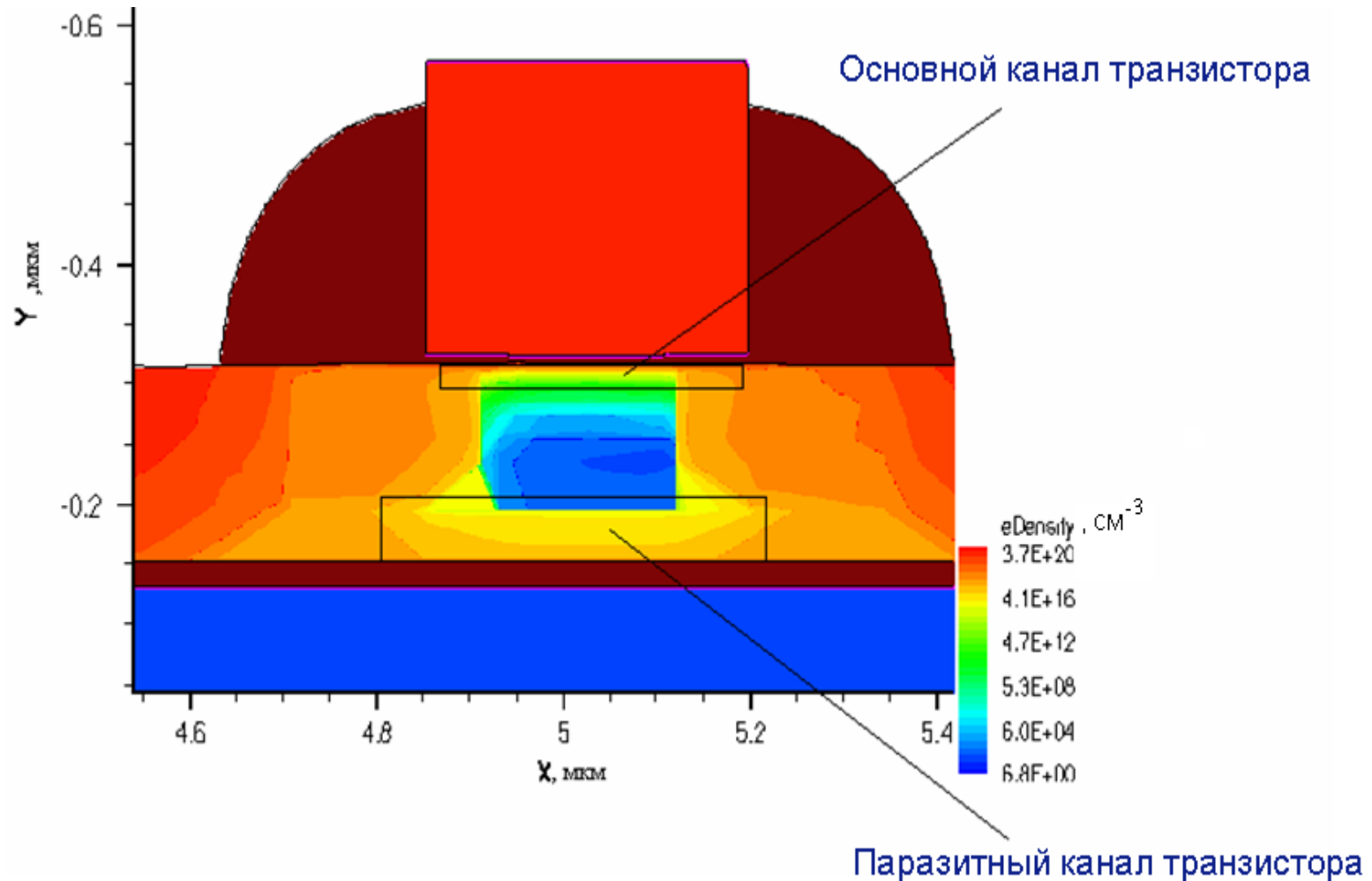


# Моделирование процесса накопления заряда в скрытом окисле



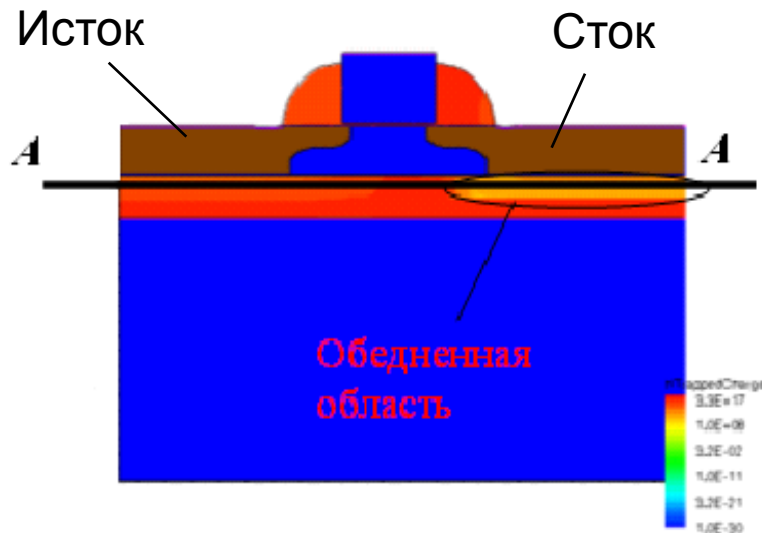
Связанный положительный заряд менялся от 0 до  $10^{-13}$  Кл на интервале времени от 3 до 4 секунд

# Основной и паразитный каналы в n-канальном КНИ МДП-транзисторе

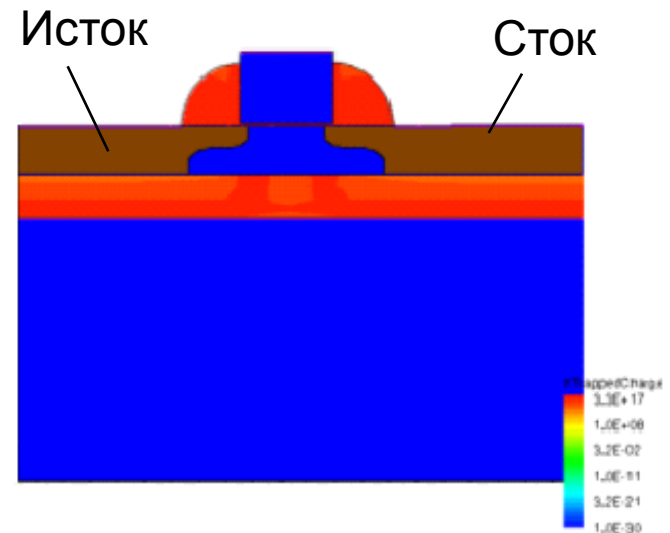


# Результаты моделирования распределения связанного заряда в скрытом окисле n-канального КНИ МДП-транзистора

Режим облучения:  
 $U_{gs}=0$  В,  $U_{ds}=3$  В



Режим облучения:  
 $U_{gs}=3$  В,  $U_{ds}=0$  В



Под действием внешнего электрического поля дырки, генерируемые в результате радиационного облучения, перемещаются в подзатворную область, оказывая сильное влияние на величину порогового напряжения

# Анализ причин нарушения сходимости при моделировании в системе TCAD и рекомендации по их устранению

№	Поведение ошибки	Причина	Рекомендации
1	Монотонное возрастание ошибки	Высокая скорость сходимости	Уменьшить скорость сходимости
2	Монотонное убывание ошибки с большой скоростью, но заданная точность не достигается	Малое максимальное количество итераций	Увеличить максимальное количество итераций счета
3	Монотонное убывание ошибки с малой скоростью	Малая скорость сходимости	Увеличить скорость сходимости
4	Немонотонное изменение ошибки	Высокая скорость сходимости	Уменьшить скорость сходимости; увеличить максимальное количество итераций
5	Немонотонное изменение ошибки	Неудачное начальное	Изменить начальное

# Преимущества разбиения всего процесса моделирования на подпроцессы

- 1. На границе подпроцесса возможно вмешательство пользователя с целью коррекции параметров процесса сходимости
- 2. Более высокая вероятность попадания начального приближения в область сходимости

# Результаты работы

- **1.** Разработана методика моделирования в системе TCAD физических процессов, протекающих в КНИ МДП-транзисторных структурах, позволяющая существенно сократить время расчета характеристик сложных транзисторных структур, основанная на разбиении всего процесса моделирования на подпроцессы, в каждом из которых обеспечивается его сходимость и постоянство точности расчетов.
- Применение разработанной методики для расчетов функциональных параметров КНИ-МДП-транзисторов позволило сократить время расчетов не менее чем в 4 раза и одновременно добиться более высокой точности результатов моделирования.
- **2.** В системе TCAD выполнены работы по калибровке модели Массоуда, описывающей процесс термического окисления кремния. После калибровки расхождение между измеренными значениями толщины подзатворного диэлектрика и значениями, полученными в результате моделирования, составило не более 10% во всем диапазоне режимов термического окисления.
- **3.** В системе TCAD выполнены работы по калибровке модели процесса ионной имплантации. Определены параметры распределения Пирсона «с хвостом», позволяющие на глубинах до 0,5 мкм иметь расхождение между теоретическими и экспериментальными данными по концентрационному профилю легирования в пределах точности самих экспериментальных данных.

# Результаты работы (продолжение)

- **4.** С помощью системы TCAD рассчитано изменение электрических характеристики КНИ МДП-транзисторов при воздействии температуры и радиационного облучения. Рассчитана динамика процесса формирования и накопления связанного заряда в скрытом окисле при радиационном облучении, раскрывающая механизм образования паразитного канала в *n*-канальной КНИ МДП-транзисторной структуре.
- Уже при небольших значениях накопленного связанного заряда (порядка  $10^{-14}$  Кл) в *n*-канальном КНИ МДП-транзисторе образуется паразитный канал, переводящий его из закрытого состояния в проводящее независимо от напряжения на затворе.
- **5.** На основе рассчитанных с помощью системы TCAD зависимостей электрических характеристик КНИ МДП-транзисторов от температуры для СБИС, содержащих КНИ МДП-транзисторы с шириной затвора 0,35 мкм, определен температурный диапазон (– от минус 30 °С до +80 °С), в котором обеспечивается надежная работа СБИС, содержащих указанные полупроводниковые приборы.